

## Cardiovascular Imaging In-a-Month

### 心異常陰影を認めた46歳女性

### A 46-Year-Old Woman Presenting With Abnormal Chest X-ray Shadow

木内 要  
子島 潤\*<sup>1</sup>  
川嶋 修司  
高野 照夫  
林 宏光\*<sup>2</sup>

Kaname KIUCHI, MD  
Jun NEJIMA, MD\*<sup>1</sup>  
Shuji KAWASHIMA, MD  
Teruo TAKANO, MD, FJCC  
Hiromitsu HAYASHI, MD\*<sup>2</sup>

症 例 46歳, 女性

主 訴: 労作時息切れ

現病歴: 労作時息切れを主訴に外来受診, 胸部X線写真(Fig. 1)にて異常陰影を認め精査目的で入院となった.

入院時現症: 血圧112/76mmHg(左右差なし), 脈拍74/min, 整. 呼吸数14/min. 理学的所見, 検査所見, および心電図所見に異常なし.

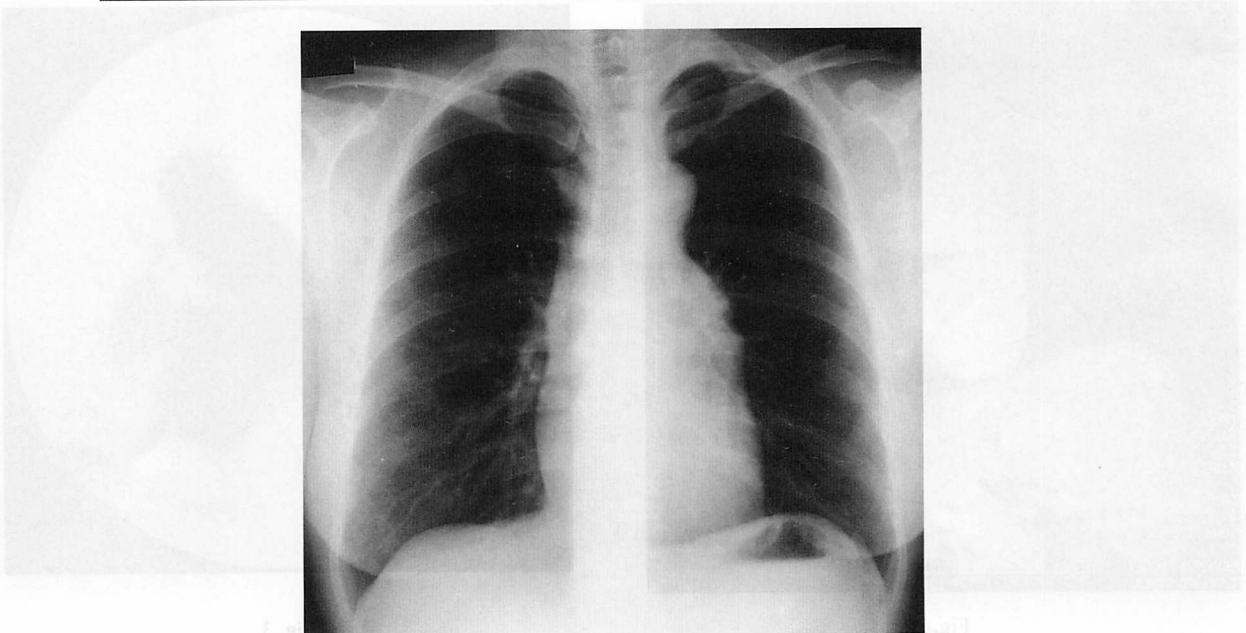


Fig. 1

日本医科大学 第一内科, \*<sup>1</sup>集中治療室, \*<sup>2</sup>放射線科: 〒113-8603 東京都文京区千駄木1-1-5

The First Department of Internal Medicine, \*<sup>1</sup>The Intensive and Coronary Care Unit, \*<sup>2</sup>Department of Radiology, Nippon Medical School, Tokyo

Address for reprints: KIUCHI K, MD, The First Department of Internal Medicine, Nippon Medical School, Sendagi 1-1-5, Bunkyo-ku, Tokyo 113-8603

Manuscript received September 20, 1999; revised October 5, 1999; accepted October 8, 1999

## 診断のポイント

胸部X線写真(Fig. 1)にて左第2弓の突出を認める。胸部磁気共鳴画像(magnetic resonance imaging: MRI; Fig. 2)および肺動脈造影(Fig. 3)を示す。胸部MRI(Fig. 2)では左心耳は拡大(左上肺静脈流入部レベルでは横径3cm)し、左下方に垂れ下がるように観察された。明らかな左房内血栓は認められなかった。肺動脈造影像(Fig. 3)においても胸部MRIと同様に左心耳の拡大を認め、左心耳瘤と診断した。心臓カテーテル検査では左心系および右心系の圧は正常で、また心房、心室の拡大、弁の逆流は認められなかった。

左心耳瘤はまれな先天性奇形で、1960年、Palacioら<sup>1)</sup>が最初に報告し、現在まで約40例の報告がある<sup>1-3)</sup>。血栓塞栓症<sup>1-3)</sup>、心房細動<sup>1)</sup>、心房粗動などを契機に発見される。一方、無症状のうちに経過し、胸部異常陰影で偶然発見されることも多い。また、本症例のように労作時息切れを主訴とする報告もある。左心

耳瘤は自覚症状がなくても致死性不整脈や血栓塞栓症の原因となるため、手術が必要であるとされる<sup>3)</sup>。手術は安全で、また手術により血栓塞栓症の危険性は減少し、不整脈も消失すると報告されている<sup>3)</sup>。本症例では、手術を勧めたが拒否されたため、抗凝固薬を投与して経過観察中である。

**Diagnosis:** Left atrial appendage aneurysm

## 文 献

- 1) Palacio J, Guido JJ, Noger VN, Gonella CG, Villegas-Videla AF: Megaorejeula izquierda congenita. Prensa Med Argent 1960; **47**: 1505-1511
- 2) Bramlet DA, Edwards JE: Congenital aneurysm of left atrial appendage. Br Heart J 1981; **45**: 97-100
- 3) Gold JP, Afifi HY, Ko W, Horner N, Hahn R: Congenital giant aneurysms of the left atrial appendage: Diagnosis and management. J Card Surg 1996; **11**: 147-150



Fig. 2

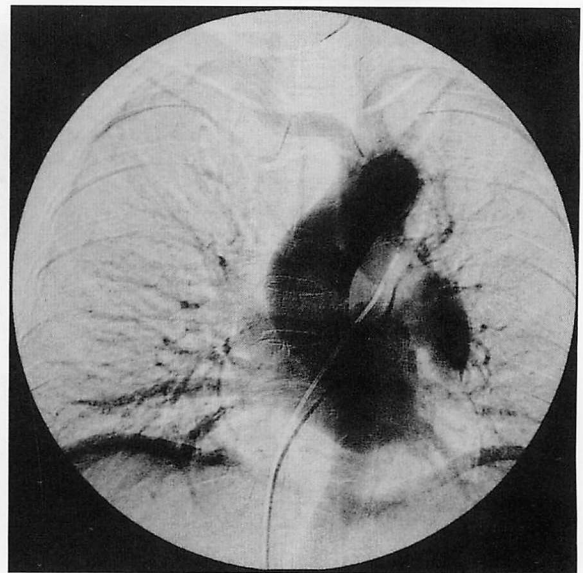


Fig. 3

**Fig. 1** Plain chest roentgenogram showing prominent convexity of the left cardiac border

**Fig. 2** Electrocardiogram-gated magnetic resonance image in the coronal plane displaying an

aneurysm of the left atrial appendage (arrow)  
**Fig. 3** Pulmonary arteriogram taken by digital subtraction angiography

An aneurysm of the left atrial appendage is shown.